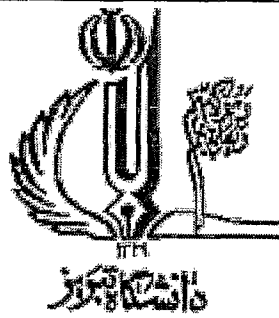


٩٧٠٧٨



دانشکده فنی - مهندسی عمران
گروه سازه

پایان نامه

برای دریافت درجه کارشناسی ارشد در رشته مهندسی عمران - سازه

عنوان

بررسی رفتار غیرخطی اتصالات خمشی تقویت شده

استادان راهنمای

دکتر علی داوران

دکتر علی حدیدی

استاد مشاور

دکتر ناصر تقی زادیه

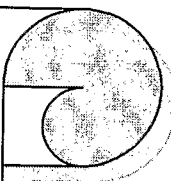
پژوهشگر

سهراب سوزنده

اسفند ماه ۱۳۸۵

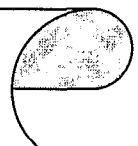
۱۳۸۷ / ۰۱ / ۱۵

۴۷۰۷۸



تَهْدِيم:

مَادِرَم



شکر و پاس

اکنون که به یاری خداوند متعال گزارش این پایان نامه را به اتاقم می رسانم بر خود لازم می داشم که از زحات وقت نظر استاد ارجمند آقای دکتر علی داوران و آقای دکتر علی حیدری به پاس راهنمائی های راه گشایشان و از آقای دکتر ناصر تقی زادیه به بجهت مشاوره های ارزنده شان شکر و قدردانی نایم.

در مراحل مختلف انجام این پایان نامه از نظرات استاد مخترم آقای مهندس احمد تجلیل، آقای مهندس مسعود فرزام و آقای دکتر یوسف حسین زاده بسیار ببره بروده ام که مین وسیله مراتب پاس و قدردانی خود را نسبت به این بزرگواران اعلام می دارم.

از تمامی دوستان و عزیزانی که لطف و محبت شان همچون ساره ای فروزان روشنگر راهم در طول این دوره هی تحصیلی بود شکر می نایم و از خداوند متعال بروزی و شاد کامی برایشان آرزومندم.

سراب سوتنه
اسفندماه ۱۳۸۵

نام و نام خانوادگی دانشجو: سهراب سوزنده

عنوان پایان نامه: بررسی رفتار غیرخطی اتصالات خمشی تقویت شده.

استادان راهنما: دکتر علی داوران - دکتر علی حدیدی

استاد مشاور: دکتر ناصر تقی زادیه

مقطع تحصیلی: کارشناسی ارشد

گرایش: سازه

رشته: مهندسی عمران

دانشکده: فنی - مهندسی عمران

دانشگاه: تبریز

تعداد صفحه: ۱۴۶

تاریخ فارغ التحصیلی: ۱۳۸۵/۱۲/۷

کلید واژه ها: اتصال خمشی فولادی، چشمeh اتصال، مفصل پلاستیک، ورق اتصال بال، ماهیچه، لچکی بال.

چکیده:

در این پایان نامه، بطور تحلیلی رفتار غیرخطی اتصال خمشی فولادی در حالت تقویت شده با لچکی یا ماهیچه، بررسی شد. نتایج تحلیلی نشان داد که، در اتصالات تقویت شده با لچکی دنباله دار، نحوه‌ی توزیع کرنش در جان و بال‌های تیر بستگی به طول دنباله‌ی لچکی دارد. برای اتصالاتی با نسبت مقاومت تیر به ستون برابر مشاهده شد که، محل تشکیل مفصل پلاستیک متأثر از مقاومت برشی چشمeh اتصال می‌باشد. بررسی‌ها نشان داد که، در اتصالات خمشی با چشمeh اتصال مقاوم در برابر برش، استفاده از صفحات اتصال بال سبب انتقال مفصل پلاستیک از بر ستون به داخل تیر می‌شوند. نمودار بار-جابجایی مربوط به مدل‌های تحلیلی نشانگر آن بود که، تقویت اتصال خمشی منجر به افزایش در سختی جانبی قاب خمشی می‌شود.

فهرست مطالب

عنوان	صفحه
-------	------

۱ پیشگفتار	۱
فصل اول: بررسی منابع	
۳ (۱) مقدمه	۳
۴ (۲) کلیاتی در مورد اتصالات سازه های فولادی	۴
۵ (۲-۱) طبقه بندی اتصالات در سازه های فولادی	۵
۵ (۲-۲) اتصالات صلب	۵
۶ (۳) تاریخچه ای اتصالات در قاب های خمشی فولادی	۶
۸ (۴) مفصل پلاستیک در قاب های خمشی	۸
۹ (۵) پارگی برگی	۹
۱۰ (۶) دلایل اصلی ضعف در عملکرد اتصالات خمشی	۱۰
۱۰ (۷) چشمی اتصال	۱۰
۱۱ (۷-۱) ضوابط طرح چشمی اتصال	۱۱
۱۴ (۸) تأثیر نحوه ای اتصال جان تیر به وجه ستون در رفتار اتصال خمشی	۱۴
۱۵ (۹) تقویت اتصال خمشی با ماهیچه ای مثلثی شکل	۱۵
۱۶ (۹-۱) بررسی تحلیلی اتصال خمشی تقویت شده با ماهیچه ای مثلثی شکل	۱۶

۱۷	۲-۹-۱) توزیع تنش خمسمی و نحوه‌ی انتقال نیرو
۱۸	۳-۹-۱) مدلی ساده برای اتصال خمسمی تقویت شده با ماهیچه‌ی مثلثی شکل
۲۰	۴-۹-۱) تغییر شکلهای سازگار بین تیر و ماهیچه
۲۲	۱۰-۱) تقویت اتصال خمسمی با ماهیچه‌ی تی شکل
۲۴	۱۰-۱-۱) بررسی تحلیلی اتصال خمسمی تقویت شده با ماهیچه‌ی تی شکل
۲۷	۱۰-۱-۲) مدلی ساده برای اتصال خمسمی تقویت شده با ماهیچه‌ی تی شکل
۳۲	۱۰-۱-۳) تمرکز تنش در جان ماهیچه‌ی تی شکل
۳۵	۱۱-۱) تقویت اتصال خمسمی با لچکی دنباله دار
۳۷	۱۱-۱-۱) نتایج آزمایشگاهی
۴۱	۱۱-۱-۲) تعیین ابعاد هندسی لچکی دنباله دار
۴۵	۱۱-۱-۳) روند طرح لچکی دنباله دار

فصل دوم: مواد و روش‌ها

۴۶	۱-۲) مقدمه
۴۷	۲-۲) معرفی نرم افزار ANSYS
۴۸	۳-۲) المان Solid45
۴۸	۴-۲) رفتار غیرخطی در سازه‌ها
۴۹	۴-۲-۱) تغییر وضعیت در سیستم
۴۹	۴-۲-۲) غیرخطی هندسی

۵۰	۳-۴-۲) غیرخطی ناشی از خواص مکانیکی مواد.....
۵۱	۵-۲) روش های حل معادلات در نرم افزار ANSYS
۵۱	۶-۲) معیارهای همگرایی
۵۲	۷-۲) گزینه های مختلف آنالیز غیرخطی
۵۳	۸-۲) مدل سازی
۵۶	۱-۸-۲) لچکی دنباله دار و اثرات ناشی شده از طول دنباله‌ی آن
۵۸	۲-۸-۲) تأثیر مقاومت برشی چشممه‌ی اتصال در رفتار اتصال خمشی
۶۰	۳-۸-۲) تأثیر نسبت مقاومت تیر به ستون در رفتار اتصال خمشی
۶۱	۴-۸-۲) ورق مضاعف جان
۶۲	۵-۸-۲) تأثیر ماهیچه‌ی تی شکل بر روی نیروی برشی مقطع عرضی تیر
۶۲	۶-۲) اثرات ناشی از تضعیف شدگی در سطح مقطع بال تیر
۶۴	۷-۸-۲) اتصال صلب جوشی با ورق اتصال بال
۶۶	۸-۸-۲) تقویت چشممه‌ی اتصال با ورق های قائم بر صفحه‌ی جان ستون
۶۹	۹-۲) الگوهای بارگذاری چرخه‌ای
۷۰	۱۰-۲) محاسبه‌ی تغییر مکان الاستیک
۷۱	۱۱-۲) منحنی تنش - کرنش معرفی شده به نرم افزار
۷۴	۱۲-۲) معیارهای مقایسه‌ای

فصل سوم: نتایج و بحث

۱-۳) مقدمه

۲-۳) تقویت اتصال خمسمی با لچکی دنباله دار ۷۶
۳-۳) بررسی اثرات ناشی شده از افزایش طول دنباله ای لچکی ۸۱
۴-۳) بررسی تأثیر مقاومت برشی چشممه ای اتصال در رفتار اتصال خمسمی ۸۸
۵-۳) بررسی تأثیر نسبت مقاومت تیر به ستون در رفتار اتصال خمسمی ۹۳
۶-۳) بررسی رفتار اتصال خمسمی تقویت شده در محل چشممه ای اتصال ۹۶
۷-۳) بررسی رفتار اتصال خمسمی تقویت شده با ماهیچه ای تی شکل ۱۰۰
۸-۳) بررسی اثر تضعیف شدگی در سطح مقطع بال تیر بر رفتار اتصال خمسمی ۱۰۵
۹-۳) بررسی تأثیر ورق های اتصال بال در رفتار اتصال خمسمی ۱۰۸
۱۰-۳) بررسی عملکرد ورق های قائم بر صفحه ای جان ستون در محل چشممه ای اتصال ۱۱۳
۱۱-۳) بررسی عملکرد روش های بهسازی بر روی سختی جانبی قاب خمسمی ۱۱۵
۱۲-۳) نتیجه گیری و پیشنهادات ۱۱۶
منابع و مراجع ۱۱۷

فهرست جداول

صفحه

عنوان

فصل اول: بررسی منابع

جدول(۱-۱): مقایسه‌ی مقادیر حاصل برای Q و N از روش تحلیلی و روابط مدل ساده شده ۳۱
جدول(۱-۲): تأثیر جزئیات مربوط به لبه‌ی آزاد جان ماهیچه‌ی تی شکل بر روی تمرکز تنش ۳۳
جدول(۱-۳): مشخصات ابعاد هندسی تیر و ستون مربوط به هر یک از نمونه‌های آزمایشی ۳۸
جدول(۱-۴): مشخصات ابعاد هندسی لچکی دنباله دار مربوط به هر یک از نمونه‌های آزمایشی ۳۸
جدول(۱-۵): خلاصه‌ای از نتایج نمونه‌های آزمایشی ۳۹
جدول(۱-۶): مقادیر عددی پارامترهای هندسی لچکی دنباله دار نمونه‌های آزمایشی ۴۳

فصل دوم: مواد و روش‌ها

جدول(۲-۱): قابلیت‌های غیرخطی هندسی المان Solid45 ۵۰
جدول(۲-۲): مشخصات پارامتری و ابعاد هندسی لچکی دنباله دار هر یک از مدل‌های تحلیلی ۵۶
جدول(۲-۳): مشخصات مربوط به هر یک از ستون‌ها در مدل‌های تحلیلی ۵۸
جدول(۲-۴): نسبت مقاومت تیر به ستون و مقاومت برشی چشممه‌ی اتصال مدل‌های تحلیلی ۶۰
جدول(۲-۵): مشخصات پارامتری و ابعاد هندسی لچکی دنباله دار طرح شده ۶۱

فصل سوم: نتایج و بحث

جدول(۳-۱): سهم جان و بال ستون در مقاومت برشی چشممه‌ی اتصال براساس رابطه‌ی B ۹۳
جدول(۳-۲): مقایسه‌ی شب نمودار بار-جابجایی مدل‌های تحلیلی ۱۱۵

فهرست شکلها

عنوان	صفحه
-------	------

فصل اول: بررسی منابع

شکل(۱-۱): جزئیات مربوط به اتصال خمسمی مورد استفاده قبل از زمین لرزه ی نورتریج	۷
شکل(۲-۱): تعریف امتدادها در مقطع یک پروفیل فولادی	۹
شکل(۳-۱): تغییر شکل چشممه ی اتصال همراه با لولاهای پلاستیک ایجاد شده بر روی بال های ستون	۱۲
شکل(۴-۱): نمودار لنگرهای خمسمی اعمال شده بر یک اتصال میانی	۱۳
شکل(۵-۱): نمودار لنگرهای خمسمی اعمال شده بر یک اتصال کناری	۱۳
شکل(۶-۱): تأثیر جزئیات مربوط به اتصال جان تیر به وجه ستون در عملکرد لرزه ای اتصال خمسمی	۱۴
شکل(۷-۱): تقویت اتصال خمسمی با ماهیچه ی مثلثی شکل	۱۵
شکل(۸-۱): فرم تغییرشکل یافته ی مدل تحلیلی	۱۶
شکل(۹-۱): مقایسه ی توزیع تنش خمسمی در ارتفاع مقطع عرضی تیر	۱۷
شکل(۱۰-۱): مدلی ساده برای یک اتصال خمسمی تقویت شده با ماهیچه ی مثلثی شکل	۱۸
شکل(۱۱-۱): دیاگرام آزاد نیروی ایجاد شده در بال ماهیچه ی مثلثی شکل و نمودار لنگر خمسمی تیر	۱۹
شکل(۱۲-۱): اتصال خمسمی تقویت شده با ماهیچه ی تی شکل	۲۲
شکل(۱۳-۱): مدهای خرابی در نمونه های آزمایش شده توسط SAC	۲۳
شکل(۱۴-۱): توزیع تنش اصلی در جان ماهیچه ی تی شکل	۲۴
شکل(۱۵-۱): نمودار بار- جابجایی نتایج آزمایشی و تحلیلی	۲۵
شکل(۱۶-۱): منحنی خطوط همتراز تنش و محور خنتی در انتهای نزدیک تیر به ستون	۲۵
شکل(۱۷-۱): محل نصب کرنش سنج ها در ارتفاع مقطع عرضی تیر همراه با پاسخ های چرخه ای آنها	۲۶
شکل(۱۸-۱): منحنی های توزیع تنش نرمال و تنش برشی در سطح مشترک تیر و ماهیچه	۲۷
شکل(۱۹-۱): دیاگرام آزاد نیروهای ایجاد شده در سطح مشترک بال تیر و جان ماهیچه در مدل ساده شده	۲۸
شکل(۲۰-۱): مقایسه ی توزیع تنش خمسمی در ارتفاع مقطع عرضی تیر	۳۲

شکل(۱-۱): مفصل پلاستیک ایجاد شده در اتصالات خمثی تقویت شده با ماهیچه‌ی تی شکل ۳۴
شکل(۲۲-۱): پارگی در بال تیر به علت تمرکز تنش در انتهای لچکی ۳۵
شکل(۲۳-۱): اتصال خمثی تقویت شده با لچکی دنباله دار ۳۶
شکل(۲۴-۱): مشخصات ابعاد هندسی لچکی دنباله دار ۳۷
شکل(۲۵-۱): تاریخچه‌ی بارگذاری براساس الگوی بار ATC-24 ۳۹
شکل(۲۶-۱): جزئیات اجرائی نمونه‌های آزمایشی SRL 30 و SRL 20 ۴۰
شکل(۲۷-۱): پاسخ‌های چرخه‌ای نمونه‌های آزمایشی ۴۱
شکل(۲۸-۱): نمودار ظرفیت خمثی و لنگر خرابی در اتصال خمثی تقویت شده با لچکی دنباله دار ۴۲
شکل(۲۹-۱): نقاط بحرانی در نظر گرفته شده بر روی بال تیر ۴۳
شکل(۳۰-۱): نتایج حاصل از مدل‌های تحلیلی بازی پارامترهای هندسی مختلف ۴۴

فصل دوم: مواد و روش‌ها

شکل(۱-۲): شکل هندسی المان 45 solid ۴۴
شکل(۲-۱): نمودار لنگر خمثی ایجاد شده در تیر یک قاب خمثی در اثر بار جانبی وارد بر آن ۵۳
شکل(۲-۲): دستگاه آزمایش ۵۴
شکل(۴-۲): جزئیات مربوط به ابعاد هندسی سوراخ‌های دسترسی در جان تیر ۵۵
شکل(۵-۲): طرح مش بندي مدل RSR 20.60 ۵۷
شکل(۶-۲): الگوی برش شعاعی سطح مقطع بال تیر در روش RBS ۶۳
شکل(۷-۲): طرح مش بندي مدل R.PTB 6 ۶۶
شکل(۸-۲): جزئیات مربوط به چیدمان ورق‌های تقویتی در محل چشم‌های اتصال ۶۸
شکل(۹-۲): طرح مش بندي چشم‌های اتصال ۶۸
شکل(۱۰-۲): الگوهای بارگذاری چرخه‌ای ۶۹
شکل(۱۱-۲): دیاگرام آزاد نیروی یک اتصال خمثی تحت اثر بار متمرکز وارد بر انتهای آزاد تیر ۷۰
شکل(۱۲-۲): منحنی تنش - کرنش مواد ۷۲
شکل(۱۳-۲): نمودار بار - جابجایی یک نمونه‌ی آزمایشی ۷۲

شکل(۱۴-۲): نمودار بارگذاری چرخه ای مدل UNR ۷۳

شکل(۱۵-۲): نمودارهای بار- جابجایی مدل UNR ۷۳

شکل(۱۶-۲): محل خطوط مورد نظر بر روی بال تیر ۷۴

فصل سوم: نتایج و بحث

..... ۹۴	شکل(۲۲-۳): مقایسه‌ی نمودار بار- جابجایی مدل‌های تقویت نشده
..... ۹۵	شکل(۲۳-۳): مقایسه‌ی کرنش‌های ایجاد شده بازای تغییر مکان نسبی ۴٪ طبقه
..... ۹۶	شکل(۲۴-۳): مقایسه‌ی نمودار بار- جابجایی مدل تقویت شده در محل چشمۀ اتصال با مدل معادل
..... ۹۷	شکل(۲۵-۳): مقایسه‌ی کرنش‌های ایجاد شده بازای تغییر مکان نسبی ۴٪ طبقه
..... ۹۸	شکل(۲۶-۳): مقایسه‌ی کرنش‌های ایجاد شده بازای تغییر مکان نسبی ۴٪ طبقه
..... ۹۹	شکل(۲۷-۳): مقایسه‌ی توزیع شاخص PEEQ بر روی خط A بازای تغییر مکان نسبی ۴٪ طبقه
..... ۱۰۰	شکل(۲۸-۳): نمودار بار- جابجایی مدل‌های تقویت شده با ماهیچه‌ی تی شکل
..... ۱۰۱	شکل(۲۹-۳): کرنش‌های ایجاد شده بازای تغییر مکان نسبی ۴٪ طبقه
..... ۱۰۲	شکل(۳۰-۳): توزیع تنش‌های اصلی در مدل‌های تحلیلی
..... ۱۰۳	شکل(۳۱-۳): منحنی خطوط همتراز تنش
..... ۱۰۴	شکل(۳۲-۳): توزیع شاخص PEEQ بر روی خط A بازای تغییر مکان نسبی ۴٪ طبقه
..... ۱۰۵	شکل(۳۳-۳): نمودار بار- جابجایی مدل‌های تحلیلی با مقطع کاهش یافته
..... ۱۰۶	شکل(۳۴-۳): کرنش‌های ایجاد شده بازای تغییر مکان نسبی ۴٪ طبقه
..... ۱۰۷	شکل(۳۵-۳): توزیع شاخص PEEQ بر روی خط A بازای تغییر مکان نسبی ۴٪ طبقه
..... ۱۰۸	شکل(۳۶-۳): نمودار بار- جابجایی مدل‌های تحلیلی با اتصال بال تیر به بال ستون توسط ورق اتصال بال
..... ۱۰۹	شکل(۳۷-۳): کرنش‌های ایجاد شده بازای تغییر مکان نسبی ۴٪ طبقه
..... ۱۱۰	شکل(۳۸-۳): کرنش‌های ایجاد شده بازای تغییر مکان نسبی ۴٪ طبقه
..... ۱۱۱	شکل(۳۹-۳): توزیع شاخص PEEQ بر روی خط A بازای تغییر مکان نسبی ۴٪ طبقه
..... ۱۱۲	شکل(۴۰-۳): تأثیر نحوه اتصال بال تیر به بال ستون در رفتار اتصال خمینی
..... ۱۱۳	شکل(۴۱-۳): تقویت چشمۀ اتصال با المان‌های قطری
..... ۱۱۴	شکل(۴۲-۳): تقویت چشمۀ اتصال با المان‌های قطری متصل به ورق‌های پیوستگی
..... ۱۱۴	شکل(۴۳-۳): تقویت چشمۀ اتصال با المان‌های افقی
..... ۱۱۴	شکل(۴۴-۳): تقویت چشمۀ اتصال با المان‌های افقی و قائم

پیشگفتار

تا قبل از وقوع زمین لرزه‌ی نورتربیج آمریکا تصور بر این بود که، قاب‌های خمشی فولادی با اتصالات جوشی، مقاوم در برابر بارهای لرزه‌ای باشند. بنابراین، آیین نامه‌های ساختمانی استفاده از این نوع قاب‌ها را با قائل شدن امتیازاتی چون ضریب رفتار بزرگ تشویق می‌نمودند. بسیاری از مهندسین بر این باور بودند که، خرابی‌های ناشی شده از زمین لرزه‌ها در سازه‌های فولادی قاب خمشی، محدود به تسليم و کمانش موضعی تیرها و ستون‌ها و نیز تغییر شکل‌های نسبی کوچک ماندگار در بین طبقات باشد.

وقوع زمین لرزه‌ی نورتربیج در ۱۷ ژانویه ۱۹۹۴ این تفکر را با چالش جدی مواجه ساخت بطوری که، در مفاهیم پایه‌ای آیین نامه‌های ساختمانی تردید ایجاد شد چرا که، سازه‌ها عملکردی برخلاف انتظار از خود بروز داده بودند بطوری که، در محل اتصال تیر به ستون متتحمل خرابی‌های شده بودند.

براساس پژوهش‌های انجام گرفته بر روی اتصالات خمشی، روش‌های متعددی به منظور بهسازی در عملکرد اتصال صلب تیر به ستون پیشنهاد شده است که آنها را می‌توان در سه گروه اصلی جای داد:

- روش‌های تضعیف در سطح مقطع عرضی تیر.
- روش‌های تقویت محل اتصال تیر به ستون.
- روش‌های ترکیبی از موارد فوق.

در مورد روش‌های تقویتی می‌توان به استفاده از ماهیچه در بال تحتانی تیر، اضافه کردن ورق مضاعف بر روی ورق‌های اتصال بال تیر و بکارگیری لچکی‌های قائم در هر دو بال تیر اشاره کرد.

هدف از انجام این پژوهش، بررسی تحلیلی تأثیر مقاومت برشی چشمehی اتصال در رفتار غیرخطی اتصالات خمshی تقویت شده و همچنین، مطالعه‌ی بر روی عملکرد برخی از روش‌های تقویتی اتصال خمshی تیر به ستون بوده است.

مطالب ارائه شده در این پایان نامه به شرح زیر می‌باشد:

- در فصل اول، ابتداءً ضوابط مربوط به طرح چشمehی اتصال مورد بررسی قرار گرفته و در ادامه به برخی از روش‌های تقویتی پیشنهاد شده از سوی پژوهشگران اشاره شده است.
- در فصل دوم پس از معرفی نرم افزار ANSYS، درباره‌ی مشخصات هر یک از مدل‌های تحلیلی توضیحاتی داده شده است.
- در فصل سوم، نتایج حاصل از تحلیل مدل‌ها مورد بحث و بررسی قرار گرفته است.

فصل اول

بررسی منابع

۱-۱) مقدمه.

یکی از انواع سیستم های سازه ای مقاوم در برابر بارهای جانبی، قاب خمشی فولادی می باشد. عملکرد لرزه ای این نوع از قاب های سازه ای، بستگی به نحوه ای اتصال تیر به ستون دارد. طی زمین لرزه های ۱۹۹۴ نورتريج آمریکا و ۱۹۹۵ کوبه ی ژاپن معلوم شد که، اتصال بال جوشی - جان پیچی استفاده شده در قاب های خمشی فولادی به مقدار زیادی بیش از آن، که تصور می شد آسیب پذیر می باشد. اگر چه در ابتداء جوشکاری کارگاهی به عنوان عامل خرابی

در محل اتصالات معرفی شد ولی نتایج حاصل از انجام مطالعات آزمایشگاهی بر روی نمونه هایی با مقیاس واقعی، بیانگر فقدان انعطاف پذیری لازم در این نوع از اتصالات بود.

به منظور بهسازی اتصالات خمثی فولادی، توسط پژوهشگران روش هایی پیشنهاد شده است که آنها را می توان در سه گروه اصلی جای داد:

- روش های تضعیف در سطح مقطع عرضی تیر.
- روش های تقویت محل اتصال تیر به ستون.
- روش های ترکیبی از موارد فوق.

در این فصل، ابتداء مطالبی درباره ای اتصالات در سازه های فولادی و ضوابط مربوط به طرح چشممه ای اتصال ارائه و در ادامه به برخی از روش هایی پیشنهاد شده برای بهسازی اتصالات خمثی فولادی، اشاره شده است.

۱-۲) کلیاتی در مورد اتصالات سازه های فولادی.

طرح عناصر اصلی یک سازه تحت اثر بارگذاریهای مختلف، با استفاده از فرمول های نظری موجود در علم مکانیک سازه ها و روابط و ضوابط بیان شده توسط آیین نامه های طراحی امکان پذیر می باشد. به منظور دست یابی به یک سازه ای ایمن لازم است که، اعضای اصلی آن بطور مناسب به یکدیگر متصل شوند تا امکان انتقال نیرو از عضوی به عضو دیگر فراهم آید.

بررسی رفتار و عملکرد اتصالات در سازه های فولادی از اهمیت ویژه ای برخوردار می باشد و عدم دقیقت در طراحی و اجرای اتصالات، نه تنها منجر به خرابی اتصال می شود بلکه اثرات محربی نیز بر اعضای سازه ای و در نتیجه کل سازه خواهد داشت. اغلب خرابی های گزارش شده از سازه های فولادی، مربوط به عملکرد ضعیف اتصالات بوده است. بنابراین، درک صحیح از رفتار

سازه‌ای اتصال و آگاهی مناسب از نحوه‌ی انتقال نیرو توسط آن، جهت طرح یک اتصال ایمن و اقتصادی ضروری به نظر می‌رسد. همچنین، در طرح یک اتصال علاوه بر حصول اطمینان از انتقال صحیح نیرو، باید به اجرائی بودن آن نیز توجه داشت.

۱-۲-۱) طبقه‌بندی اتصالات در سازه‌های فولادی.

با توجه به تنوع اتصالات در سازه‌های فولادی، می‌توان آنها را به شکل زیر طبقه‌بندی نمود:

- انواع اتصالات بر حسب فن اتصال.
- انواع اتصالات بر حسب میزان صلابت.
- انواع اتصالات بر حسب نیروی انتقالی.
- انواع اتصالات بر حسب شکل هندسی.
- انواع اتصالات بر حسب نوع عضو اتصالی.

۱-۲-۲) اتصالات صلب.

بارزترین ویژگی یک اتصال صلب، انتقال لنگر می‌باشد که به کمک این ویژگی، قاب‌های خمی بدون نیاز به مهاربندی می‌توانند در برابر بارهای جانبی از خود واکنش نشان دهند. صلابت یک اتصال به دو عامل بستگی دارد:

- سختی.
- مقاومت.

سختی اتصال بیانگر مقاومت آن در برابر تغییر زاویه می‌باشد و هر قدر اتصالی سخت تر گردد میزان تغییر زاویه در آن کمتر می‌شود بطوری که، این تغییر زاویه در یک اتصال کاملاً صلب تقریباً برابر با صفر می‌باشد. اگر اتصالی از صلابت کامل (بطور ریاضی بی‌نهایت) برخوردار نباشد بارهای

وارد بر سازه، در آن تغییر زاویه را موجب می شوند که در این صورت به آن اتصال نیمه صلب گفته می شود. از طرفی، سختی زیاد یک اتصال به تنها ی کافی نمی باشد زیرا که، اگر اتصالی از مقاومت کافی برخوردار نباشد زودتر گسیخته می گردد و در نتیجه موجب بروز رفتار کاهنده در سازه می شود. نکته‌ی بسیار مهم اینکه، یک اتصال صلب باید دارای مقاومت کافی باشد بطوری که، ناحیه‌ی تسلیم در داخل تیر یا ستون (ترجیحاً تیر) بوجود آید تا به اتصال آسیبی نرسد. از این رو در بررسی عملکرد لرزه‌ای یک سازه، اهمیت تأمین مقاومت در یک اتصال بیش از تأمین سختی در آن است چرا که، فقدان سختی باعث کاهش در تأثیر نیروی زلزله بر اتصال و تمرکز آن روی سایر عناصر و اجزای سازه می شود در حالی که، فقدان مقاومت می تواند به گسیختگی اتصال و فرو ریختن بخشی از سازه منجر شود. درباره‌ی حالت‌های کلی شکست یک اتصال صلب می توان به موارد زیر اشاره کرد:

- تسلیم یا گسیختگی در اثر تمرکز تنش.

- تسلیم شدگی برشی در چشممه‌ی اتصال.

۱-۳) تاریخچه‌ی اتصالات در قاب‌های خمشی فولادی.

استفاده از قاب خمشی فولادی، به عنوان یک سیستم سازه‌ای مقاوم در برابر بارهای جانبی، از اوائل قرن بیستم مورد توجه بوده است. ابتداء از پرج در اتصالات این نوع از قاب‌های سازه‌ای استفاده می شد. بعد از دهه‌ی ۱۹۶۰ پرج‌ها توسط پیچ‌هایی با مقاومت بالا و جوش جایگزین شدند.

پوپوف و پنپلکی [نقل از منبع شماره ۳] با انجام آزمایش بر روی اتصالات خمشی به این نتیجه رسیدند که تحت اثر بارگذاری چرخه‌ای، رفتار غیرالاستیک بهتری با جوش کامل بال‌ها و